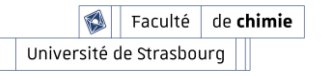


Techniques Chromatographiques

Partie 2 – La chromatographie en phase gazeuse

Arthur Hourugou – hourugou@unistra.fr

1



Les lectures impératives

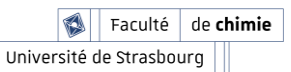
- 🗴 Bourderioux A., Bourjot M., Lordel S., Valois L., Mémo Visuel de Chimie Analytique, Tout en fiches, Dunod 2020.
- X Bonnamour I., Filhol J.S., Lemoigno F., Pérol N., Winum J.Y. Mémo Visuel de Chimie Générale, Tout en fiches, 2^{ème} édition, Dunod 2022.
- Kouessac F., Rouessac A. Analyse Chimique Méthodes et techniques instrumentale, 9ème édition, Dunod, Paris, 2019.
- X Arnaud P., Les cours de Paul Arnaud Chimie Générale, 8ème édition, Dunod, Paris, 2016.











Les lectures pour aller plus loin

- × Poole C., Fanali S., et al Liquid Chromatography: Fundamentals and Instrumentation, 2nd Edition, Elsevier, Juillet 2017.
- × Vogel A., Mendham J., Denney R. C., Barnes J. D., Analyse Chimique Quantitative De Vogel, 62me édition, De Boeck, 2006.
- Caude M. Jardy A. Chromatographie en phase liquide Théorie et méthode de séparation PE 1 455, Technique de l'ingénieur, 1994
- X Arpino P. Chromatographie en phase Gazeuse P 1 485, Technique de l'ingénieur, 1996
- * Analytical Sciences Synthesis & Purification Consommables Reageants & Instruments, Interchim 2024 2025











.



X Principe général

X Injecteur

- → Rôle / Constitution
- → Split / Splitless
- → Volume d'injection

X Gaz Vecteur

- → Viscosité
- → Régulation de pression
- → Vitesse optimale / équation de Van Deemter

Colonne

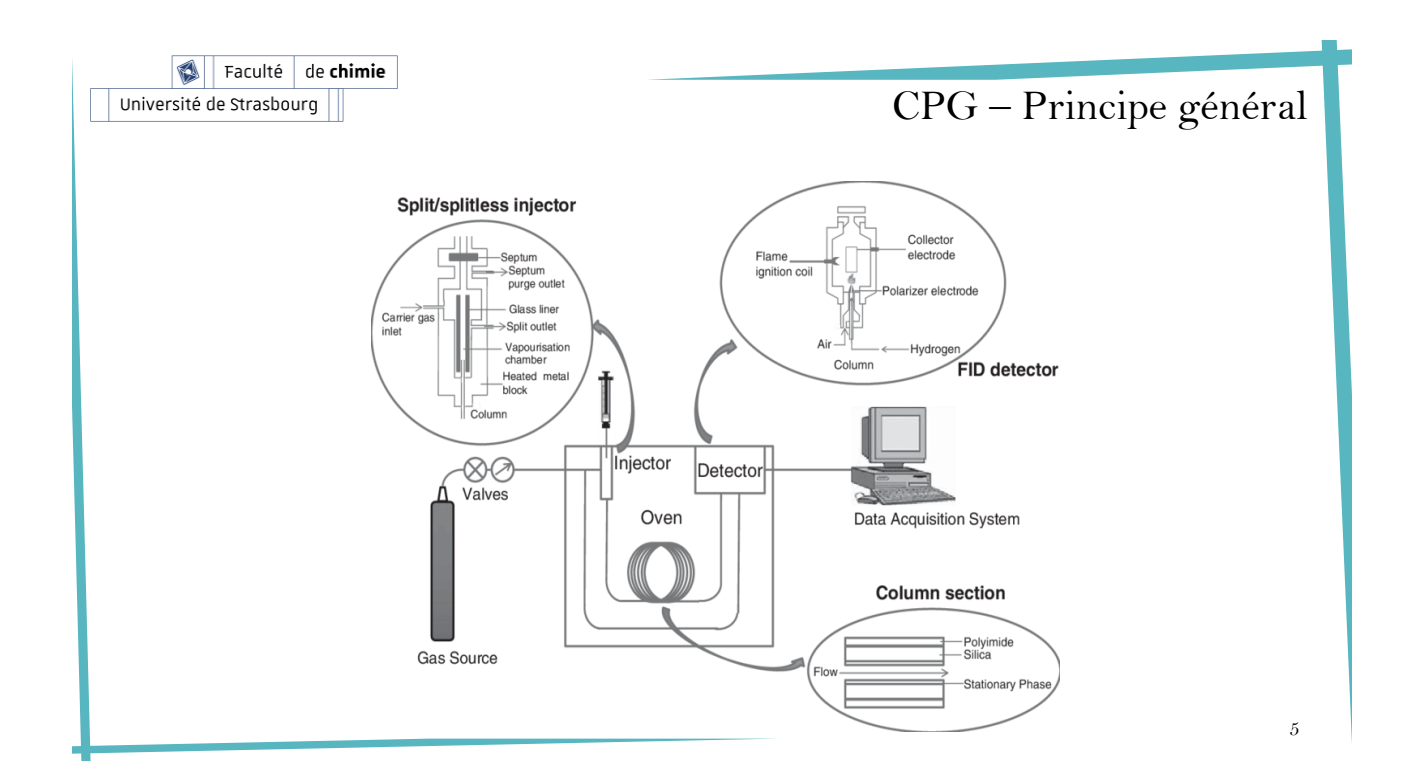
→ Gaz vecteur/colonne/four

× Détecteur

- → FID
- → Autres détecteurs non structuraux

Le programme

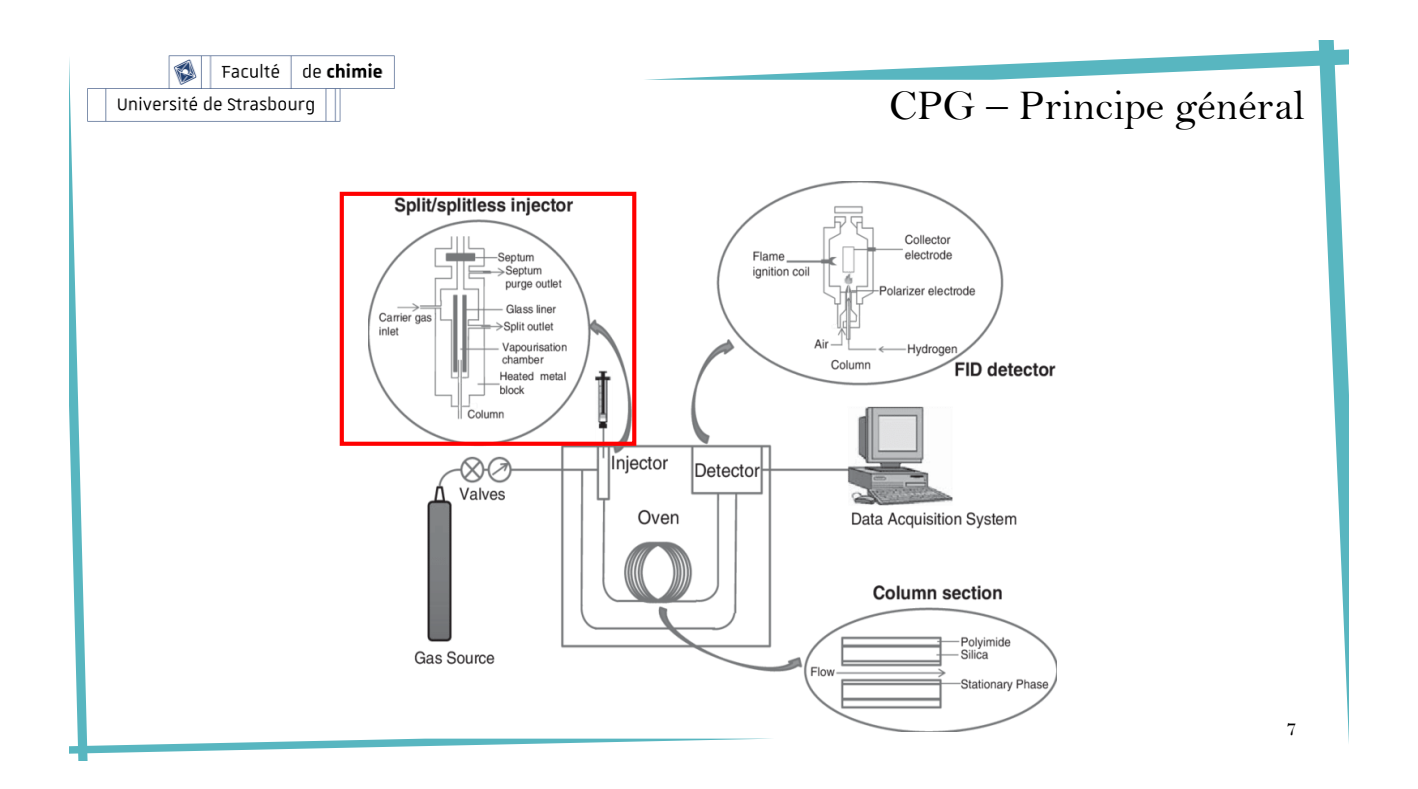


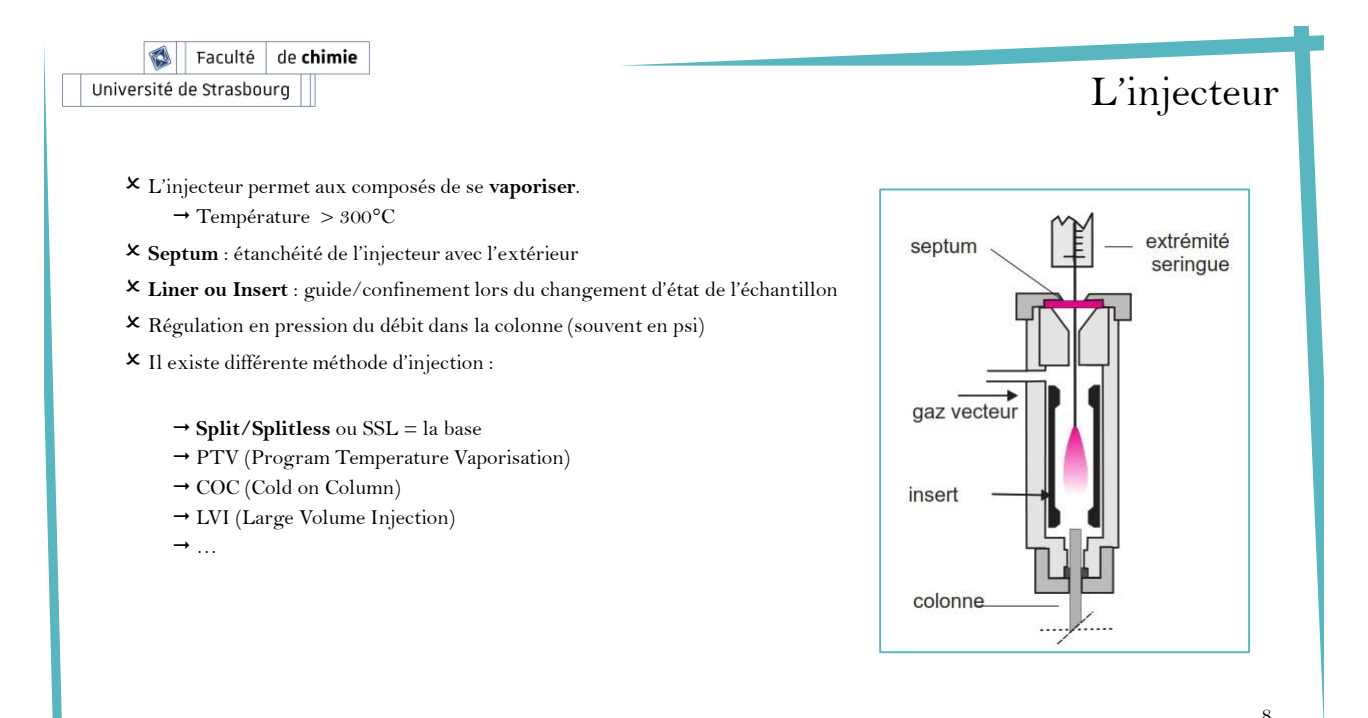


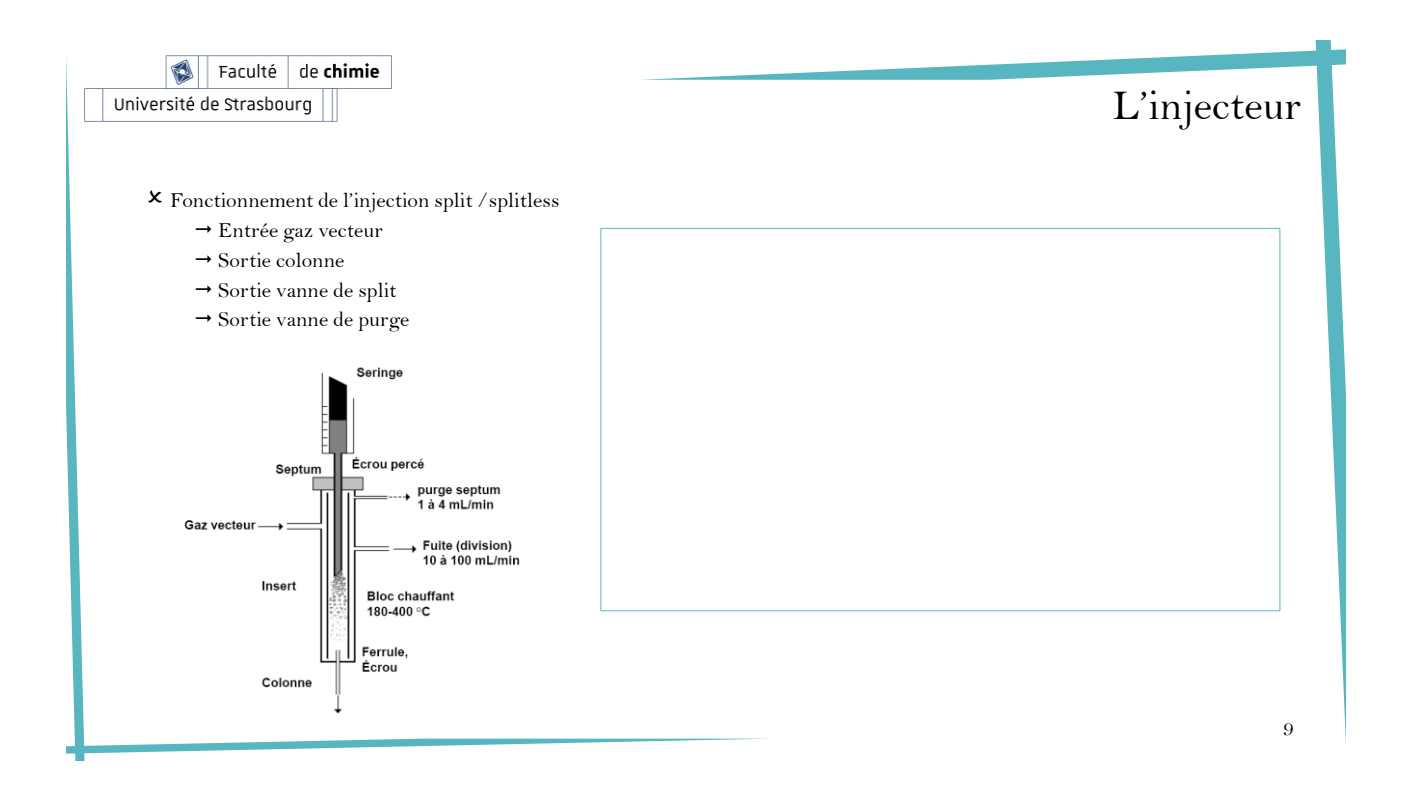


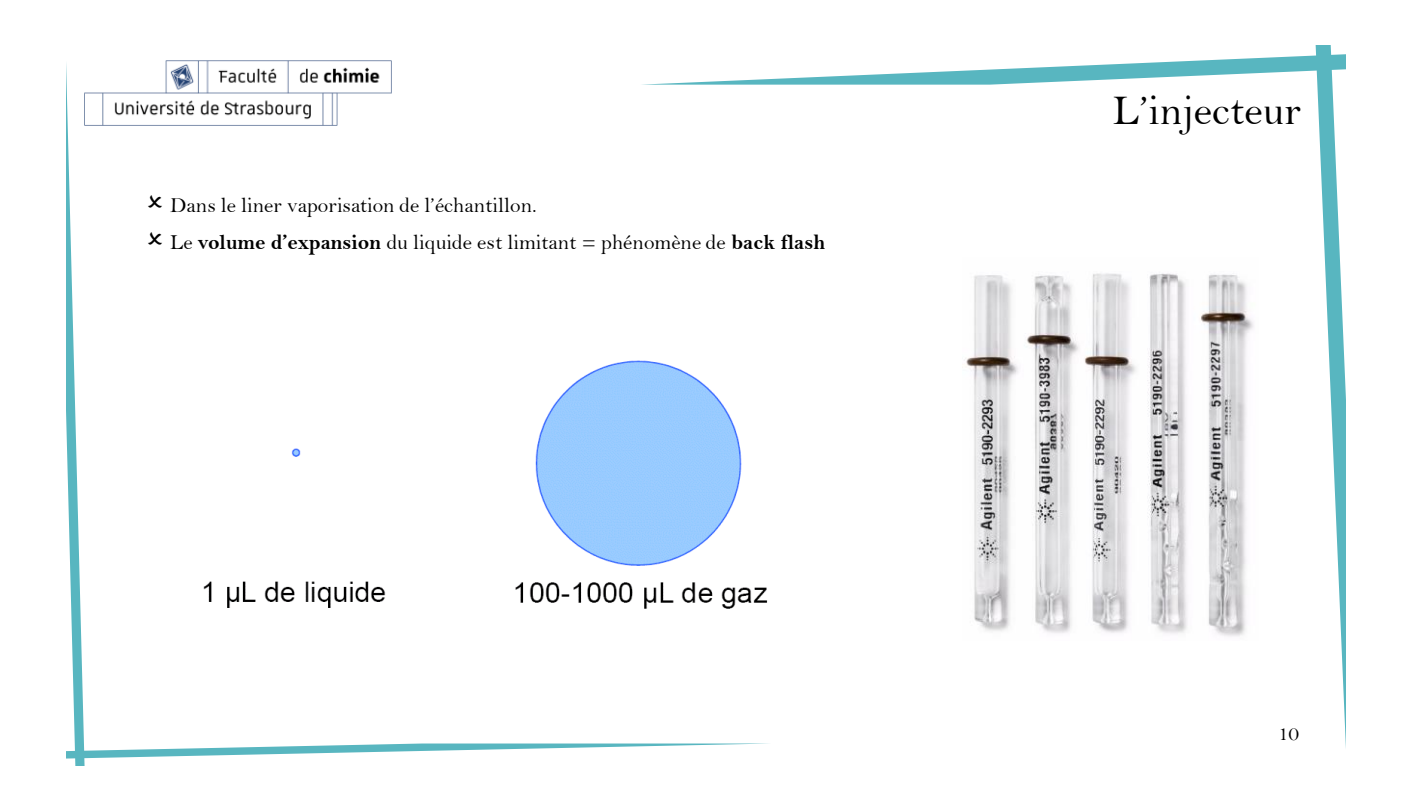
CPG - Principe général

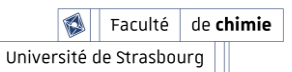
- X La CPG ou GC = séparation de composés à l'état gazeux.
 - → Les molécules avec un faible poids moléculaire (< 500 g.mol⁻¹)
 - → Les molécules avec une faible température d'ébullition (< 300°C).
 - → Molécules **non thermosensibles** auquel cas elles risquent d'être détruites lors de la vaporisation.
- **X** La phase mobile est un **gaz vecteur inerte** = $\text{He} \text{H}_2 \text{N}_2$
- X Il existera un seule type d'interaction : soluté phase stationnaire
- 🗴 Trois éléments instrumentaux essentiels à étudier :
 - → Injecteur
 - → Four + Colonne
 - → Détecteur











L'injecteur

🗴 Estimation rapide du volume occupé par l'échantillon après vaporisation (supposons le gaz comme parfait) :

$$PV = nRT$$

$$V = \frac{nRT}{P}$$

 \mathbf{x} Avec :

→ R : Constante des Gaz Parfait

→ T : Température de l'injecteur (en K)

 \rightarrow P : Pression totale dans l'injecteur = $P_{relative} + P_{atm}$ (en Pa)

→ n : Nombre de mole de gaz (en mol)

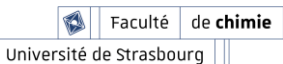
🗴 Connaissant le volume de liquide injecté (majoritairement du solvant) on retrouve le nombre de mole injecté :

$$n = \frac{m}{M} = \frac{V_{inj} \times d_{solvant}}{M}$$

X D'où le volume de gaz formé dans l'injecteur :

$$V_{gaz} = \frac{V_{injection} \times d_{solvant}}{M} \cdot \frac{RT_{injecteur}}{P_{injecteur}}$$

11



L'injecteur

× Exemple

Echantillon:

 $V_{\rm inj}: 2~\mu L$

Liner:

Solvant EtOH (d = 0.789)

Marque: Agilent

 $T_{inj} = 350$ °C

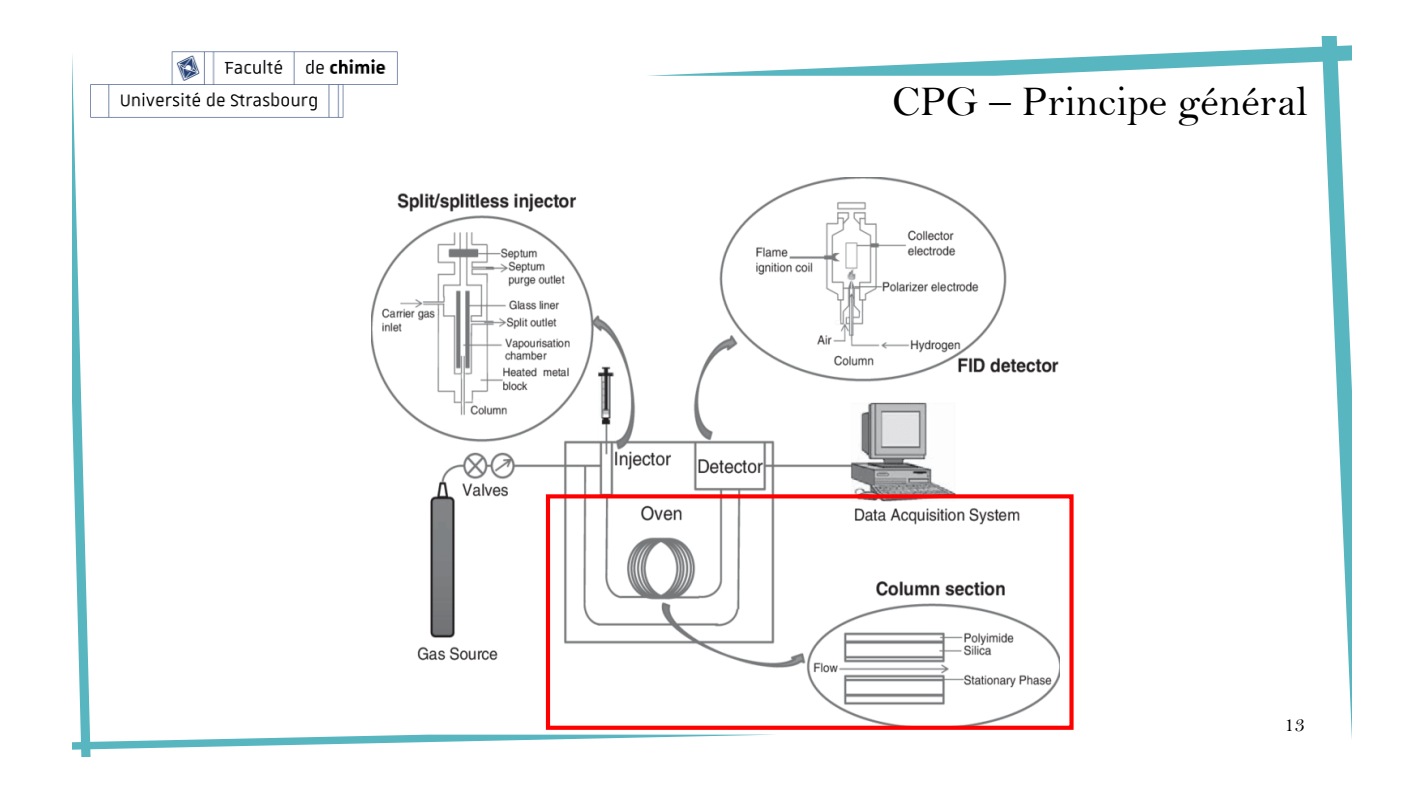
Length: 78,5 mm Inner Diameter: 4 mm

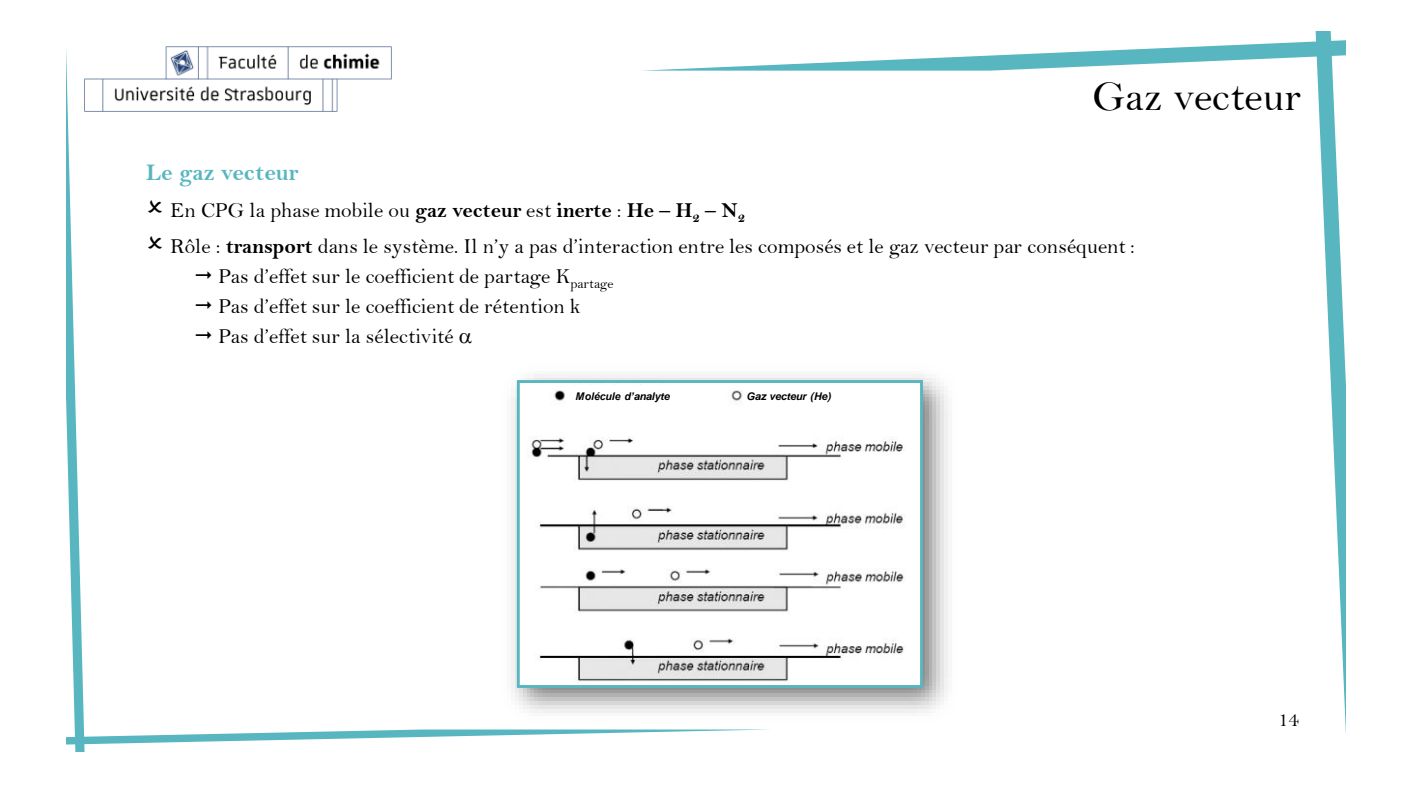
 $P_{\text{relative}} = \Delta p = 20 \text{ psi} (1 \text{ psi} = 6895 \text{ Pa})$

Liner geometry: Straight



Solvant	Bp	MG	d (20 ℃)	μL vapeur par 1 μL solvant
Solvani	[℃]	[g/mol]	[g/mL]	à T₁ = 200 °C et P₁ = 100 kPa
Dichlorométhane	40	84,9	1,336	307
Acétone	56	58,1	0,791	265
Méthanol	65	32,0	0,793	483
n-Hexane	69	86,2	0,660	149
Éthylacétate	77	88,1	0,901	199
Éthanol	78	46,1	0,789	334
Toluène	111	92,1	0,867	184
Eau	100	18.0	0,998	1081





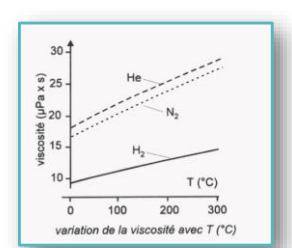


Gaz vecteur

Le gaz vecteur

- 🗴 La viscosité du gaz vecteur est le seul paramètre qui peut avoir une conséquence sur l'efficacité de la colonne :
 - → Grande viscosité = phénomène de diffusion plus grand
 - → Coefficient de diffusion plus grand = élargissement des pics
 - → Elargissement des pics = diminution du nombre de plateau (N)

<u>Table:</u> Viscosité des gazes vecteurs [μPoise].					
	100 ℃	200 ℃	300 ℃		
Hydrogène H ₂	103	121	138		
Hélium Hé	229	270	307		
Azote N ₂	208	246	280		



15



Gaz vecteur

Le gaz vecteur

imes La vitesse du gaz vecteur dans la colonne est régulée par différence de pression (Δp) entre l'entrée et la sortie de la colonne :

$$\Delta p = p_i - p_0 = \frac{\eta \cdot L}{B_0} \cdot \overline{u} \qquad \frac{\text{Colonne capillaire} : B_0 \cong \frac{d_c^2}{32}}{D_0} \rightarrow \Delta p = \frac{32 \cdot \eta \cdot L}{d_c^2} \cdot \overline{u}$$

- $\rightarrow \Delta p$: Différence de pression entre l'entrée et la sortie de la colonne (µbar = g.cm^-1.s^-2)
- $\rightarrow p_i$: Pression à l'entrée de la colonne
- $\rightarrow p_0$: Pression à la sortie de la colonne
- $\rightarrow \eta$: viscosité du gaz (Pa.s) avec 1 Pa.s = 10 Poise = g.cm⁻¹.s⁻¹
- → L : Longueur de colonne (cm)
- $\rightarrow \bar{u}$: vitesse linéaire (cm.s⁻¹)
- → B₀ : Perméabilité spécifique (cm²)

$$imes$$
 Dans le cas d'une colonne remplie la perméabilité spécifique B_0 s'exprime : $B_0 \cong \frac{d_p^2}{10^3}$ $\to d_p$: Diamètre des particules dans la colonne



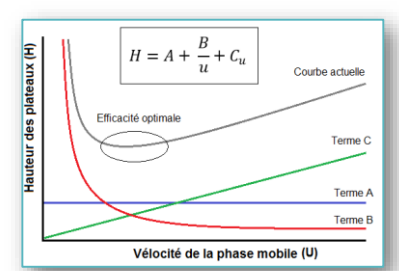
Gaz vecteur

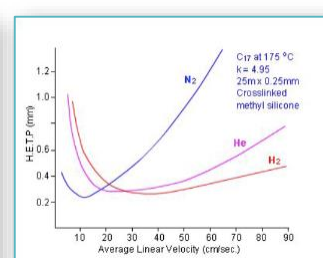
Le gaz vecteur

🗴 Vitesse linéaire optimum : Equation de Van Deemter ou équation de Golay dans le cas de colonne capillaire :

Van Deemter (colonne remplie):

- H : Hauteur d'un plateau théorique
- A : Terme de diffusion turbulente (passage entre les grains)
- B: Terme de diffusion longitudinal (diffusion dans la colonne)
 - C : Terme de résistance au transfert de masse
 - u : vitesse de la phase mobile





Exemple: On souhaite avoir une vitesse du gaz vecteur d'environ 35 cm.s⁻¹

- La colonne capillaire mesure 25 m
- La colonne capillaire a un diamètre de 0,32 mm
- Le gaz vecteur est de l'Hélium
- Le four est réglé en isotherme à 100°C

$$\Delta p = \frac{32 \cdot \eta \cdot L}{d_c^2} \cdot \bar{u}$$

18

Faculté de **chimie**Université de Strasbourg

Gaz vecteur

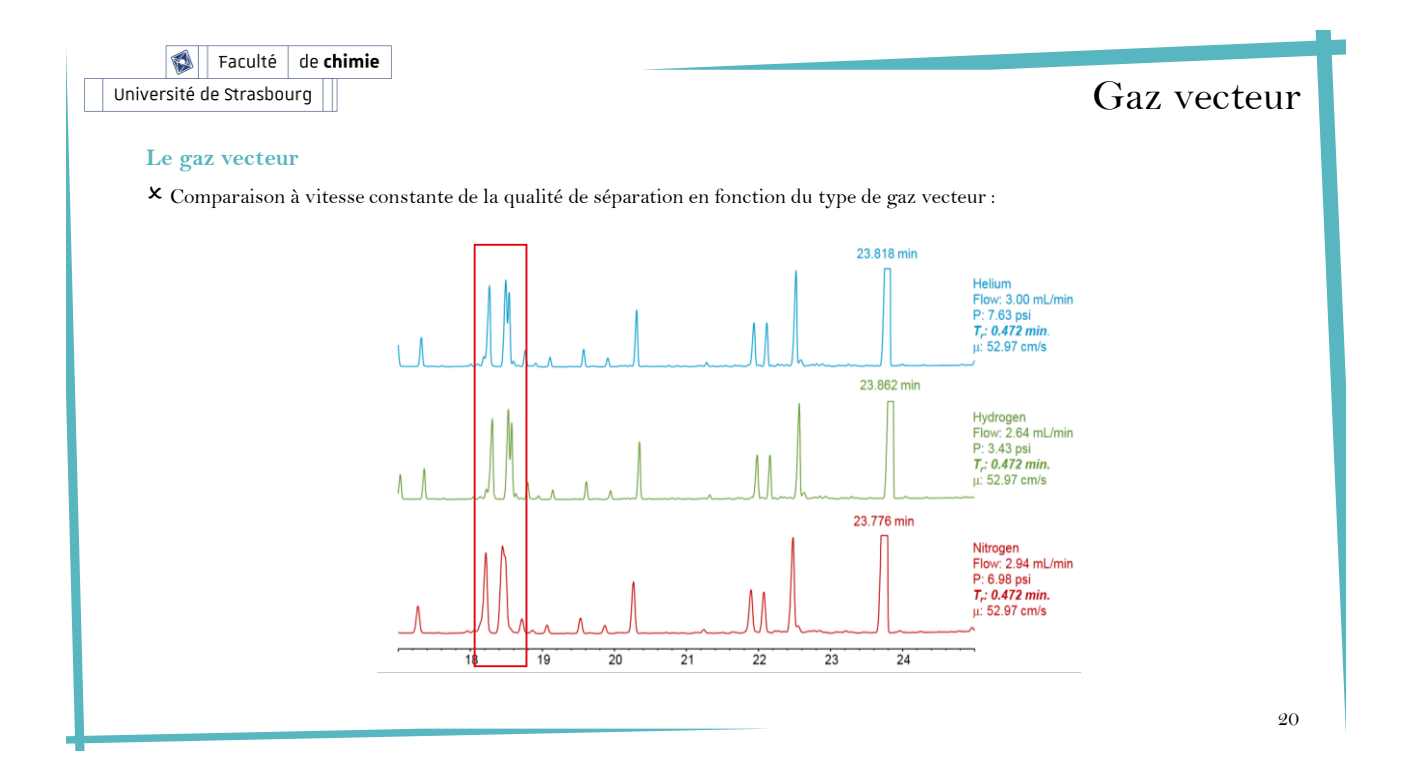
X Application numérique en cm :

$$\Delta p = \frac{32.\eta . L}{d_c^2}.\bar{u} = \frac{32.229.10^{-6}.2500}{0.032^2}.35 = 626206 \,\mu Bar = 0.63 \,Bar$$

- $\rightarrow \Delta p$: Différence de pression entre l'entrée et la sortie de la colonne (g.cm⁻¹.s⁻² $\equiv \mu$ bar)
- $\rightarrow \eta$: viscosité du gaz en Poise (229.10⁻⁶ g.cm⁻¹.s⁻¹)
- $\rightarrow L$: Longueur de colonne (2500 cm)
- $\rightarrow \bar{u}$: vitesse linéaire (35 cm.s⁻¹)
- $\rightarrow d_c$: diamètre de la colonne (0,032 cm)
- X Application numérique en m :

$$\Delta p = \frac{32 \cdot \eta \cdot L}{d_c^2} \cdot \bar{u} = \frac{32 \cdot 22, 9 \cdot 10^{-6} \cdot 25}{(0, 32 \cdot 10^{-3})^2} \cdot 0,35 = 6267 \, Pa = 0,63 \, Bar$$

- $\rightarrow \Delta p$: Différence de pression entre l'entrée et la sortie de la colonne (Pa)
- $\rightarrow L$: Longueur de colonne (25 m)
- → \bar{u} : vitesse linéaire (0,35 m.s⁻¹)
- $ightarrow d_c$: diamètre de la colonne (0,32.10⁻³ m)
- $\rightarrow \eta$: viscosité du gaz en Poise (229.10⁻⁶ Poise = 22,9.10⁻⁶ Pa.s ou Poiseuille)

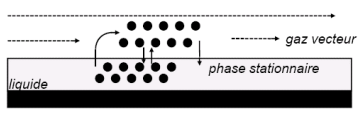




Colonne: Caractéristiques physiques

La colonne

- 🗴 Le gaz vecteur n'ayant qu'un rôle de transport dans le système la séparation se fait grâce à la phase stationnaire.
- X Le coefficient de partage se défini alors :



$$K_{partage} = \frac{m_{stationnaire}}{m_{gaz\,vecteur}}$$







- 🗴 Il existe trois types de colonnes qui devront correspondre au type d'injection choisi :
 - → Les colonnes remplies (SCOT)
 - \rightarrow Les colonnes macrobores (PLOT) en verre ou en silice fondue diamètre interne d'environ 0,32 à 0,53 mm.
 - → Les colonnes capillaires (WCOT) en silice diamètre interne d'environ de 0,1 à 0,53 mm.
- X Les colonnes macrobores et capillaires ont une phase stationnaire sous forme de film "liquide".

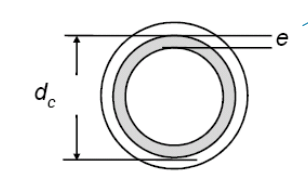


Colonne: caractéristiques physiques

La colonne

- X La colonne est définie par trois grandeurs caractéristiques :
 - → La longueur (L)
 - → Le diamètre intérieur (d_c)
 - → L'épaisseur du film de phase stationnaire (e)
- X Auxquelles on ajoute ses paramètres physico-chimique :
 - → La **polarité** de la phase stationnaire
 - → La température minimum et maximum d'utilisation

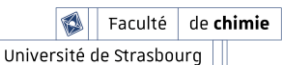




American American American	Comment of the Commen
- mpart home - mpart home - market proce - market proce - market proce - market proces - market proces - market process - market p	
· Marchanage	
	Andreas Control of the Control of th

	Capillary Tubing	Fused Silica	
*	Film Thickness	0.25 μm	
	Format	7 inch	
	Inner Diameter (ID)	0.32 mm	
	Length	60 m	
	Phase	DB-5	
	Polarity	Low Polarity	
	Temperature Range	-60 °C-325/350 °C	

23



Colonne : caractéristiques physiques

La colonne

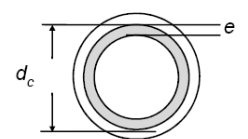
imes Le ratio du volume de phase mobile par rapport au volume de phase stationnaire s'appelle le rapport de phase : eta

$$\beta = \frac{V_M}{V_S} = \frac{r_i}{2e} = \frac{d_c}{4e}$$

$$\times$$
 Or: $k'_A = K_{partage} \frac{V_S}{V_M} = \frac{K_{partage}}{\beta}$

$$\mathbf{x}_{Donc}: k'_{A} = \frac{4.e.K_{partage}}{d_{c}}$$

- X Conclusion pour améliorer le facteur de rétention
 - → Augmentation de l'épaisseur de film
 - → Diminution du diamètre de la colonne



$$V_S = S_{int} \cdot e = (2\pi \cdot r_i \cdot L) \cdot e$$
$$V_M = \pi \cdot r_i^2 L = \pi \cdot \left(\frac{d_c}{2}\right)^2 L$$

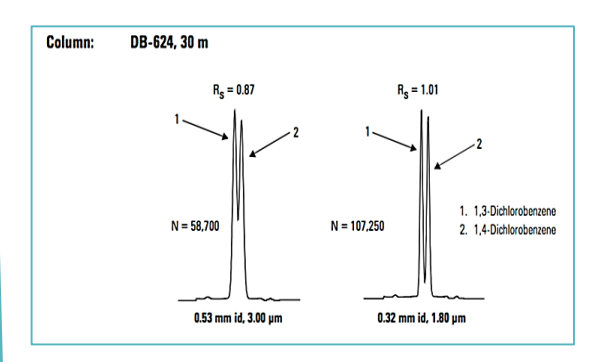
D'autre part :
$$k'_A = \frac{t_r - t_m}{t_m} = \frac{K_{partage}}{\beta}$$

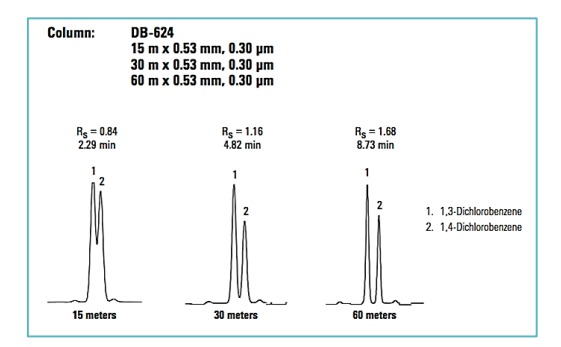
On remarque que le temps de rétention augmente si l'épaisseur du film augmente ou si le diamètre diminue

$$t_r = t_m \left(1 + \frac{K}{\beta} \right) = t_m \left(1 + \frac{4 \cdot e \cdot K_{partage}}{d_c} \right)$$

Faculté de **chimie**Université de Strasbourg

Colonne : caractéristiques physiques





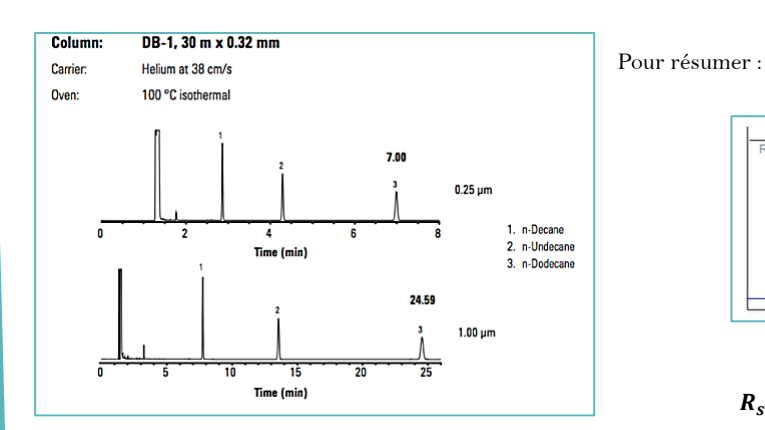
Impact du diamètre de la colonne

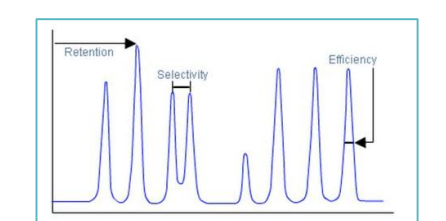
Impact de la longueur de la colonne

25

Faculté de chimie Université de Strasbourg

Colonne : caractéristiques physiques

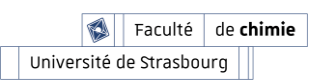




 $R_s = \left[\frac{1}{4} \cdot \sqrt{N}\right] \left(\frac{k}{1+k}\right) \left(\frac{\alpha-1}{\alpha}\right)$

Impact de l'épaisseur de la phase stationnaire.

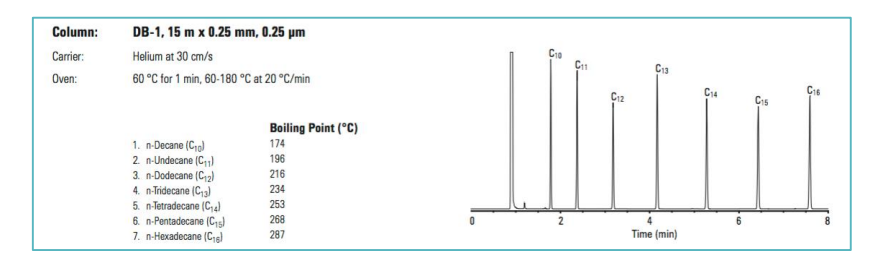
Le terme d'efficacité dépend de la longueur et du diamètre de la colonne. Le terme de rétention dépend du diamètre de la colonne et de l'épaisseur de film Le terme de sélectivité dépend de la polarité de la colonne.



Colonne : caractéristiques physiques

Critères de séparation

 $oldsymbol{\times}$ Ordre de température d'ébullition :



- f X Les composés d'une même famille sortent dans l'ordre de leur température d'ébullition.
- X Par extrapolation les composés sortent en fonction du nombre d'atome de carbone.

97



Colonne : polarité de la phase stationnaire

🗴 La phase stationnaire peut être fixée ou déposée à chaud dans le tube de silice

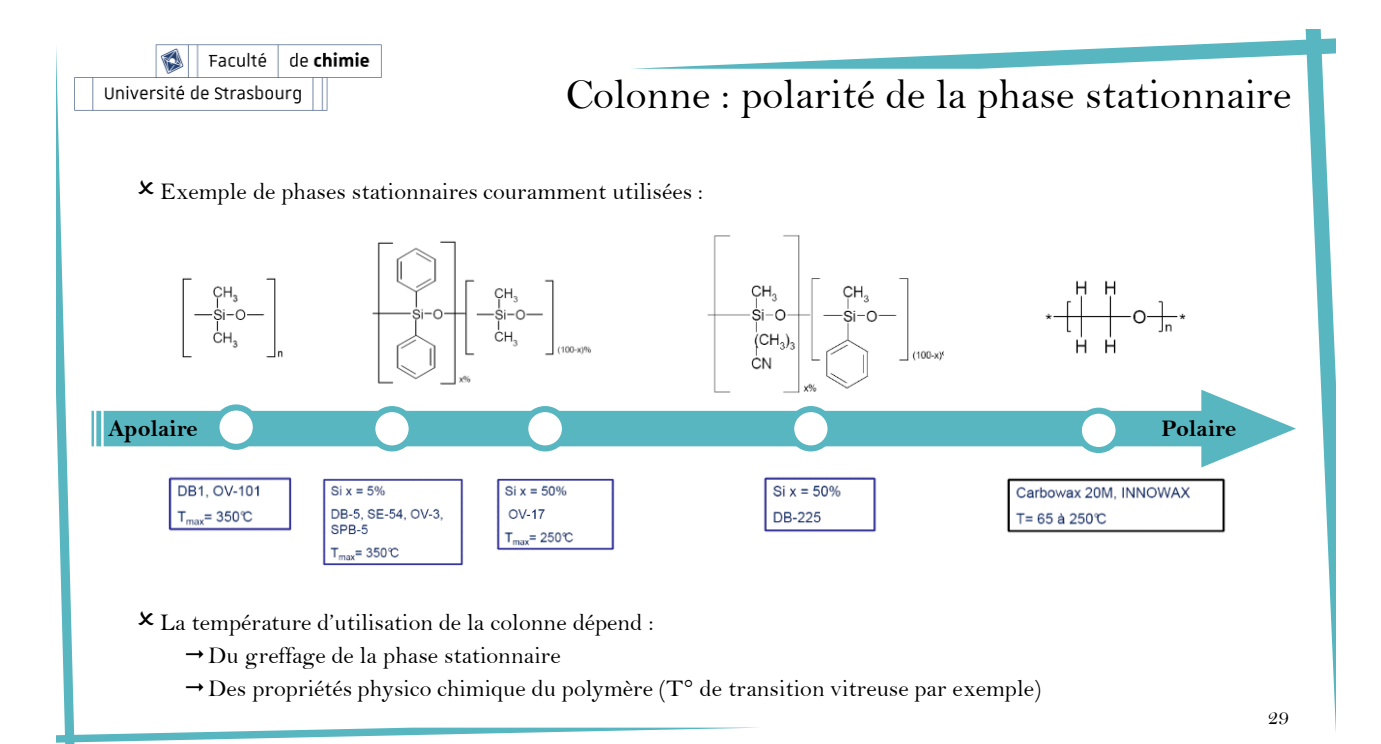
Phase stationnaire déposée et retenue par liaison hydrogène

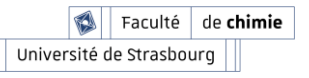
Phase stationnaire greffée à la silice

🗴 C'est la composition du polymère de phase stationnaire qui va faire varier sa polarité :

Phase stationnaire PEG = polaire

Phase stationnaire PDMS = apolaire

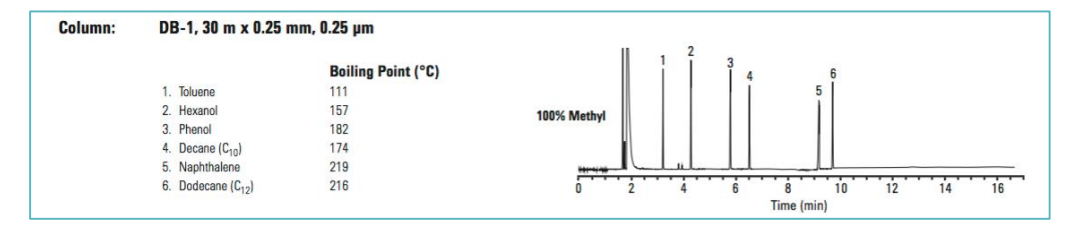




Colonne: caractéristiques physiques

Critères de séparation

X Déviation de l'ordre des températures d'ébullition sur une colonne PDMS :



- → Pas d'interaction dipôle/dipôle avec la phase stationnaire
- → Pas d'interaction hydrogène avec la phase stationnaire

X Log de P :

→ Toluène : 2,73 Décane : 5,01

→ Hexanol : 2,03 Naphtalène : 3,30

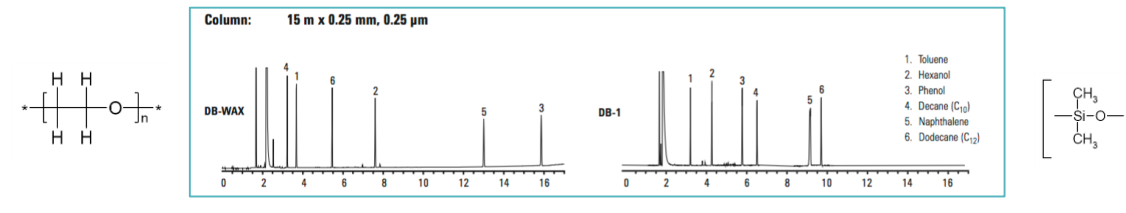
→ Phénol : 1,46 Dodécane : 6,10



Colonne : polarité de la phase stationnaire

Critères de séparation

➤ Colonne polaire VS apolaire :



- f x La comparaison entre les deux analyses permettent de montrer que :
 - → L'allongement des temps de rétention de l'hexanol et du phénol sur la colonne polaire s'explique par une combinaison d'interaction dipôle/dipôle et de liaison hydrogène.
 - → La diminution du temps de rétention du décane et du dodécane s'explique par la très faible interaction avec la phase stationnaire polaire.

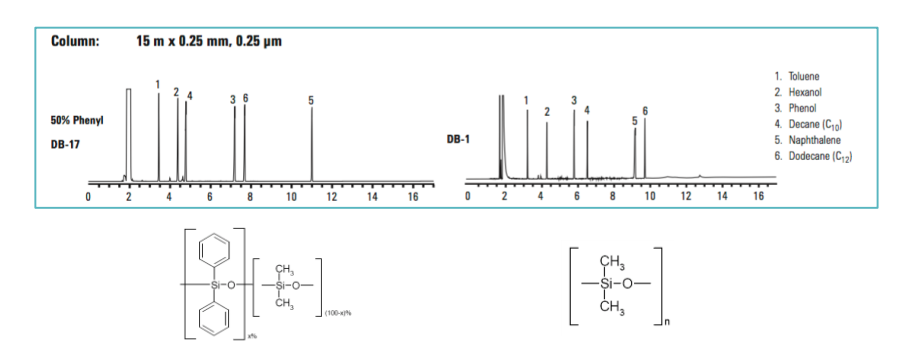
31



Colonne : polarité de la phase stationnaire

Critères de séparation

X Colonne PDMS avec 50% de phényle vs PDMS :



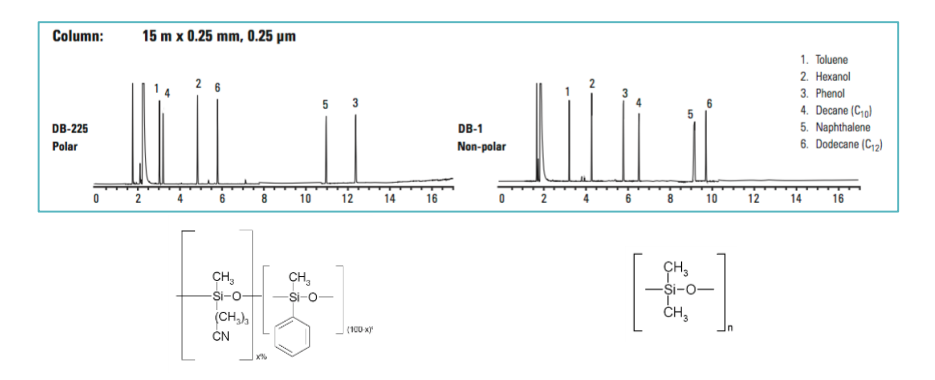
★ La présence de groupement aromatique dans la phase stationnaire DB-17 entraine l'augmentation du temps de rétention de tous les composés contenant des noyaux aromatiques.



Colonne : polarité de la phase stationnaire

Critères de séparation

➤ Colonne PDMS avec cyano-propyl vs PDMS :



X La présence de **groupement cyano-propyl** dans la phase stationnaire DB-225 entraine l'**augmentation de la polarité** de la phase stationnaire. Conséquence, les composés contenant une fonction alcool vont voir leur temps de rétention augmenter.

33



Le four

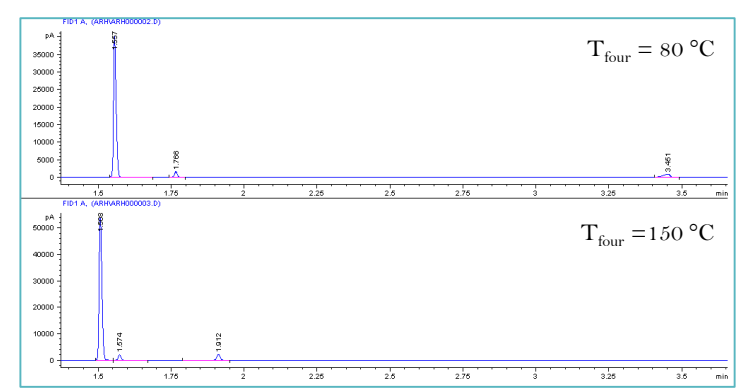
- X Les colonnes sont placées dans des fours chauffés au 1/10° de degrés.
- 🗴 La température du four peut :
 - → Etre constante au cours du temps = Isotherme
 - → Augmenter au cours du temps = Gradient de température
- 🗴 Il n'est pas nécessaire que la température soit supérieur à la température d'ébullition des composés analysés !
- 🗴 Le développement de méthode consiste entre autre à trouver les bonnes conditions de température pour séparer les molécules.





Le four

- X Impact de la **variation** de la **température** du four sur la séparation. De manière expérimentale il semble évident que si la température du four augmente "l'agitation" des molécules dans la colonne augmente et donc défavorise l'interaction avec la phase stationnaire **les temps de rétention changent** :
- × Colonne PDMS : Modèle SE30 de la marque Agilent (15 m ; 250 μm ; 0,25 μm)
- 🗴 Mélange :
 - → Pentane $T_{eb} = 36$ °C
 - → Heptane $T_{eb} = 98$ °C
 - → Décane $T_{eb} = 174$ °C
- X Température du four isotherme
 - → 80 °C
 - → 150°C



31



Le four

X Démonstration de l'impact de la température sur les temps de rétention :

$$\ln(K_{partage}) = \frac{-\Delta_r G^{\circ}}{RT}$$

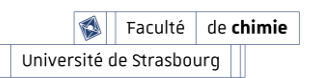
- 🗴 🕹 $\Delta_r G^\circ$ représente la différence d'énergie libre de dissolution du soluté entre la phase stationnaire et le gaz vecteur.
 - ightharpoonup Plus $\Delta_r G^\circ$ est petit, plus la constant d'équilibre ($K_{partage}$) est grande, donc plus le produit est retenu sur la colonne.
- \times Sachant que $t_r' = t_m \left(1 + \frac{K}{\beta}\right)$

$$\ln(t_R') = \frac{-\Delta_r G^{\circ}}{RT} - \ln(\beta) + \ln(t_m)$$

imes Enfin en thermodynamique il a été vu que : $\Delta_r G^{\circ} = \Delta_r H^{\circ} - T \Delta_r S^{\circ}$

$$\ln(t_R') = \frac{-\Delta_r H^{\circ}}{RT} + \frac{\Delta_r S^{\circ}}{R} - \ln(\beta) + \ln(t_m)$$

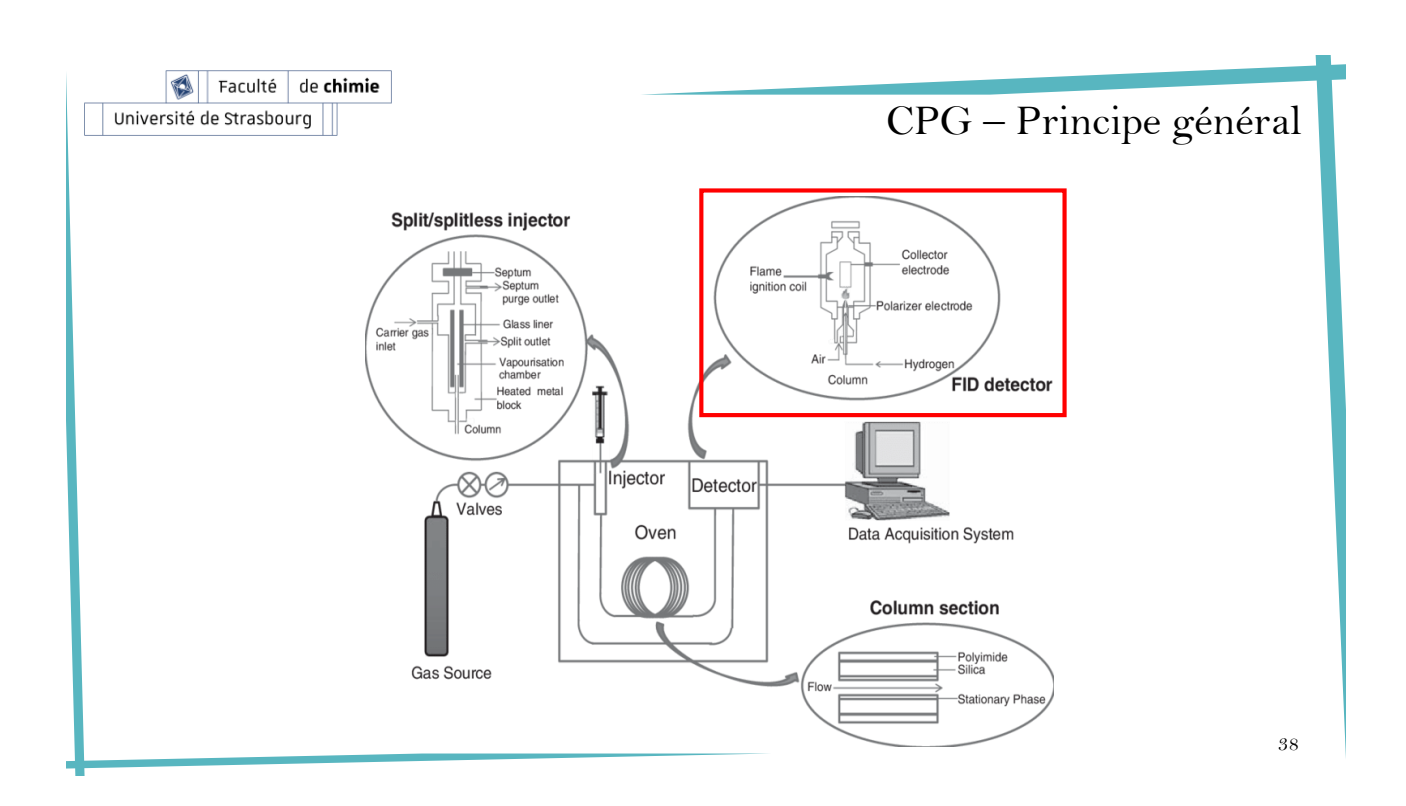
$$ln(t_R') = \frac{A}{T} + B$$

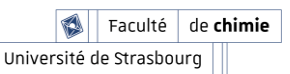


Le four

$$ln(t_R') = \frac{A}{T} + B$$

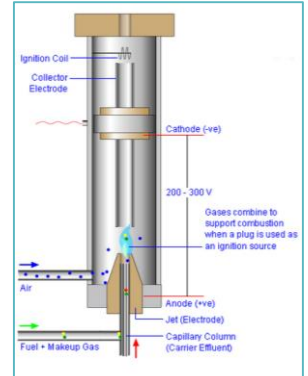
- imes Avec A et B des constantes associées à une molécule et une colonne. (en considérant $\Delta_r H^{\circ}$ et $\Delta_r S^{\circ}$ indépendante de la température)
- 🗴 En résumé
 - \rightarrow Si T augmente le t_r diminue à fortiori
 - → Connaissant les coefficients A et B ainsi que la température d'analyse il est possible de déterminer le temps de rétention de la molécule sur la colonne à toute les températures.





Le détecteur

- X Le FID est probablement le détecteur le plus utilisé pour son excellent rapport qualité prix.
- X Le fonctionnement : une flamme brule les composés sortant de la colonne.
- X Il faut impérativement
 - → Un comburant : (O₂)
 - → Un combustible : (H₂)
 - → Une énergie d'activation : un filament (invisible)
- X La combustion entraine entre autre la formation d'ions qui sont collectés.
- X La différence de potentiel est proportionnelle à la quantité d'ion donc à la quantité d'analyte.
- X Avantage : détecteur sensible jusqu'à 10⁻¹³g de molécule.
- X Avantage : quasiment universel sur les composés organiques volatiles.
- X Inconvénient de cette détection : destruction de l'échantillon.
- X Inconvénient : la faible sensibilité aux molécules présentant un potentiel d'ionisation élevé
 - → Ne "voit" pas l' H_2O , le CO_2 , le CO, le SO_2 ou les NOx.



90



Le détecteur

- X Il existe d'autre type de détecteur **non structuraux** :
 - → Le catharomètre **TCD** le principe repose sur la mesure de la conductibilité thermique de mélanges gazeux.
 - → Le détecteur thermo-ionique NPD est spécifique aux molécules contenant de l'azote ou du phosphore.
 - → Le détecteur à capture d'électron ECD est spécifique aux espèces électronégatives notamment les composés halogénés.
 - → Le détecteur à **photométrie de flamme** est spécifique aux espèces contenant du phosphore et du soufre.
 - → ...
- 🗴 Enfin il existe des **détecteurs structuraux** comme le détecteur **MS**.

